

اثر هاله خرد شده در حفاری انفجاری بر تحلیل عددی تغییر شکل های توپل با تکریش ویژه بر کیلومتر ۱۰ توپل گاوشن

حیدر بهرامی^{۱*}، علی ارومیه‌ای^۱، عرفانی احمدی^۲ و سعیده سلیمانی^۱

^۱گروه زمین‌شناسی مهندسی، دانشکده علوم پایه دانشگاه تربیت مدرس، تهران، ایران

^۲گروه مکانیک سنج، دانشکده فنی دانشگاه تربیت مدرس، تهران، ایران

تاریخ دریافت: ۱۳۸۵/۰۵/۰۸ تاریخ پذیرش: ۱۳۸۷/۰۸/۰۸

چکیده

بررسی پایداری فضاهای زیرزمینی پیش از حفاری و با توجه به میزان تغییر شکل های نهایی، از ملزومات طراحی است. در مدل سازی های مختلف یا تحلیل های تجزیی، محدوده اطراف بخش حفر شده به شکل یک پارچه به صورت محیط پیوسته یا ناپیوسته، مدل و تحلیل می شود. به نظر می رسد در حفاری انفجاری به علت تخریبی که بسته به نوع انفجار، جنس توده سنگ و غیره رخ خواهد داد، ناحیه پیروامونی یکجا بزرگ شده باشد. در این تحقیق، ناحیه ای تخریب یافته به نام "هاله خرد شده" در اطراف توپل در نظر گرفته شد تا مدل سازی در دو حالت یک پارچه (بدون وجود هاله خرد شده) و بار دیگر با اعمال هاله خرد شده در اطراف آن انجام شود. روش المان مجزای سه بعدی که نسبت به دیگر روش های عددی، از همخوانی بیشتری با محیط ناپیوسته توده سنگ برخوردار است، استفاده از نرم افزار 4.0، 3DEC به مدل سازی تغییرات ناشی از پیشروی پرداخته شد. مطالعه موردی توپل گاوشن که در حدود کیلومتر ۱۰ از دهانه ورودی در گابروهای مری افولیتی با پارامترهای مقاومتی به نسبت خوب حفر شده، انجام شد. شرایط مناسب نصب ابزار دقیق و از سوی عدم اجرای پوشش بتنی در بخش یاد شده باعث ثبت بهینه رفتار طبیعی زمین در این ناحیه شده و کنترل دقیق تر نتایج را فراهم شده است. بررسی خروجی ها حاکی از همخوانی بیشتر مدلی که اطراف آن هاله خرد شده اعمال شد با نتایج ایجاد دقیق است.

کلید واژه ها: هاله خرد شده، حفاری انفجاری، تحلیل عددی، 3DEC توپل گاوشن.

*نویسنده مسئول: حیدر بهرامی

۱- مقدمه

رفتاری آنها به کل محیط هر چند که روش های سریع و ساده تری است، اما در مدل

نمودن محیط های ناپیوسته مورد توجه قرار نگرفت (Pande and Williams, 1990).

روش های المان مجزا (Distinct element) و تفاضل محدود (Finite difference)

با مبانی مشابه و توانایی بررسی محیط های شامل بخش های مجزا از هم (مانند

بلوک های سنگی در توده سنگ درزه دار) به عنوان مناسب ترین راه حل های موجود

برای شیوه مازی توده سنگ های درزه دار شناخته شدند (Bell, 1992).

به موازات استفاده از روش های عددی همخوان با محیط ناپیوسته، تبدیل شیوه

سازی دو بعدی به سه بعدی برای دستیابی به تحلیل های دقیق تر، نیاز بود و سپس

بر این اساس، نرم افزارهایی بر پایه روش های عددی سه بعدی ارائه شد (Wittko,

1990). مقایسه بین نتایج مدل سازی دو بعدی و سه بعدی برای برسی مسیر تنش

در اطراف توپل دایری انجام گرفت و بر ناکافی بودن مدل سازی دو بعدی در

چنین محیط هایی تأکید شد. همچنین بیان شد که مدل سازی سه بعدی توانایی پوشش

نتایج تحلیل های دو بعدی را نیز دارد (Barla, 2000). به نظر (Eberhardt, 2001)

تحلیل سه بعدی، بررسی دقیق تری را از توزیع تنش در انتهای و لبه های حفاری ممکن

می سازد. وقتی توپل در شرایط زمین شناسی پیچیده پیشروی کند، آگاهی توزیع سه

بعدی تنش ضروری تر است (Eberhardt, 2001).

Cheng & Liu (1990) نتایج ابزارهای را با مدل سازی مغار کم‌زرهایی یک

نیروگاه که با استفاده از روش تفاضل محدود دو بعدی، در توده سنگ با مقاومت

متوسط که به روش انفجاری حفر شده است، مقایسه نمودند. در نهایت بیان شد

که به دلیل اثر انفجار و تغییر شکل های ناشی از حفر، در متراژی از توده سنگ

محصور کننده توپل افزایش شکستگی ها باعث شد تا تغییر شکل های توده سنگ

نسبت به مدل بیشتر باشد (Cheng and Liu, 1990).

در نظر گرفته شد، تأثیر درزه ها در آن دیده نشد و تغییرات به صورت دو بعدی

مدل شد. (Hoek & Brown, 2002) بر اساس مطالعات آنها و نیز بررسی پروژه های

۵۷

۱-۱. ویژگی های عمومی محدوده مطالعاتی

توپل انتقال آب گاوشن، بخشی از طرح ملی گاوشن شامل سد، سرربز، توپل و شبکه

آبیاری- زهکشی در شمال خاوری شهرستان کامیاران در استان کردستان می باشد.

دهانه ورودی در محل مخزن سد با مختصات "۳۵°۰'۰۰" و "۵۰°۱۸'۰۰" شمالی

و "۴۶°۵۸'۶۰" خاوری و تراز ۱۳۲۶ متر از سطح آب های آزاد قرار

دارد. هدف این توپل انتقال آب به اراضی دشت های یله و میان دریند به

مساحت ۳۰۰۰ هکتار و تأمین ۶۳ میلیون مترمکعب آب مصرف شهر کرمانشاه در

سال است. از نظر زمین شناسی توپل در مسیر خود از بخش وسیعی از مری ابولیتی

ناحیه سندرج- سیرجان، شیل های آهکی پرمن و بخشی از واحد های سنگ چینه ای

زاگرس عبور می نماید (خسروی و همکاران, ۱۳۷۶). محدوده مدل سازی در بخشی

از این مسیر، در طول ۴۰ متری از کیلومتر ۱۰/۰۸ تا ۱۰/۱۲ توپل گاوشن واقع شده

که شامل توده سنگ های گابروئی است، به روش انفجاری حفاری شده و دارای

مقطع نعل امیبی است (شکل ۱).

۱-۲. معرفی بر مطالعات انجام شده

مدل سازی عددی در حقیقت به کارگیری روش های عددی ریاضیاتی در علم فنی

و مهندسی است تا با استفاده از آنها به شیوه مازی شرایط واقعی از اجسام و محیط

در فضای مجازی رایانه پرداخته شود. مدل سازی عددی در محیط های ناپیوسته،

مستلزم انتظام روش عددی به کار گرفته شده با ماهیت چنین محیط هایی است.

Zienkiewicz et al. (1994) روش المان های محدود (Finite Elements) را در

محیط ناپیوسته توده سنگ، به سبب لغزش گره ها (Nodes) روی هم در اثر تغییر

شکل بلوک های یا جابه جایی ها در محل درزه ها، ناکارامد دانستند (Zienkiewicz and Taylor, 1994).

الزاماً هر رفتار با نقاط مجاور خود نخواهد بود. به همین دلیل المان های مرزی

(Boundary elements) به سبب به کارگیری پارامترهای مرزی محیط و تعیین مدل

نرم افزار 4.0 کامل (3d Distinct Element Codes) 3DEC مجموعه ای از کدهای المان مجزای سه بعدی (3d Distinct Element method) برای مدل سازی محیط های ناپیوسته است که بلوک های تغییر شکل پذیر را به کمک المان های تفاضل محدود مش بندی می نماید. این نرم افزار به سبب مدل سازی رفتار های متوجه تونلهای سنگی و همچنین توآتی محاسبه کرنش غیر صفحه ای مرتبط با سه بعدی بودن روش عددی پوشش دهنده، در پیش از سیصد پروژه مهم تحقیقاتی دنیا مورد استفاده قرار گرفته است و پس از تولید آن در سال ۱۹۹۸ تا کنون سه مرحله تکامل داشته است (Itasca Co., 2002).

۲-۲. ایجاد هندسه مدل

مطابق آنچه در مقدمه بیان شد، ناحیه برگزیده برای مدل سازی (به طول ۴۰ متر) شرایط ایده آل ابزاریندی را داراست و از سویی پارامترهای مورد نیاز برای ورود به مدل در این ناحیه به طور کامل دسترسی است. در این طول، هندسه طرح اعم از شکل دهانه تونل و ابعاد آن یکسان بوده و شبیه آنقدر کم است (درصد ۵٪). که تونل در این طول کوتاه، افقی در نظر گرفته شد. شعاع تونل در نیم دایره بالای ۲/۹۵ متر و مرکز آن نیز ۹۵٪ از کف بالاتر است. کف تونل ۴/۷ متر عرض دارد و تونل نسبت به راستای مسیر متقاضان است (شکل ۴-الف).

در صفحه عمود بر مسیر تونل، حدود نهایی دور مدل حداقل معادل مسافتی در نظر گرفته می شود که ممکن است در اثر حفاری دستخوش تغییر شکل گردد (ناحیه مغشوش). به طور معمول ابعاد ناحیه مغشوش دور تونل در حفاری که فاقد تقاطع است معادل ۵ برابر شعاع در نظر گرفته می شود (Hoek, 2000). بنابراین با توجه به پیشنه شعاع در تونل (۲/۹۵ متر) در جهات x و y نسبت به مرکز تونل، مرزهای بلوک ۱۵ متر دورتر در نظر گرفته شد. در مسیر تونل، پیش از آن که سینه کار به نقطه کنترلی برسد، بسته به نوع سنگ در حدود ۵/۰ تا ۱/۵ برابر قطر تونل در نقطه کنترلی تغییر شکل آغاز می شود. این تغییرات تقریباً ۳۳٪ تغییر شکل های نهایی پیش بینی شده است (Hoek et al., 1995). بر همین اساس جهت اطمینان بیشتر، از ۱/۷ برابر قطر تونل نرسیده به نقطه کنترلی (Control point)، شروع محدوده مدل در نظر گرفته شد که این فاصله معادل ۱۰ متر می باشد. به طور معمول پس از نقطه کنترلی جهت حفاری در سنگ های الاستیک ۲ تا ۳ برابر D (قطر تونل) و سنگ های پلاستیک تا چندین برابر D مرز جابه جایی نهایی خواهد بود (Gercek and Unlu, 2003). با این که تونه سنگ گاپر با کیفیت خوب خود در دسته اول جای می گیرد اما برای اطمینان، این فاصله تا ۵ برابر D افزایش داده شد. در نهایت حدود Z یا محدوده طولی حفاری ۴۰ متر، بین ۱۰ تا ۳۰ متر نسبت به نقطه هدف در نظر گرفته شده است (شکل ۴-ب).

با توجه به شباهت وضعيت تونه سنگ گاپر در ۴۰ متر محدوده مدل سازی ستبرای هاله به طور ثابت یک متر پیشنهاد شد تا ضمن پاسخگویی به پرسش اصلی تحقیق (حساسیت یا عدم حساسیت مدل به هاله)، مراحل بسیار زمان بر مدل سازی به ۲۰ مرحله (شامل ۴ مرحله کالیبراسیون، ۸ مرحله حفاری بدون وجود هاله و ۸ مرحله حفاری با وجود هاله خردشده) کاهش یابد. وجود هاله تنها تفاوت هندسی این مدل با مدل یک پارچه است.

۲-۳. پارامترهای زئومکانیکی ورودی به مدل (ویژگی های مواد و ناپیوستگی ها) یکی از مهم ترین مسائل در تحلیل های مهندسی سنگ، ورود اطلاعات زمین شناسی صحیح می باشد و داده های بی دقت مدل ها را دچار اشتباه و نقص خواهد کرد (Hoek, 2000). نرم افزار 3DEC دارای دو مدل رفتاری می باشد لغزش کولومب یا برخورد محیط (Area contact joint model) و مدل درزه به طور پیوسته تسلیم پذیر (Continuously Yielding joint model) (Itasca Co., 2002).

مدل مورد استفاده در تحقیق "لغزش کولومب" می باشد که برای بلوک های

مرتب، بیان کردند در حفاری انفجاری بسته به نحوه کنترل انفجار و نوع سنگ در مقاطع عرضی، ناحیه ای به سمت رای حدود ۲ تا ۳ متر اطراف تونل به عنوان ناحیه به هم ریخته وجود دارد. آنها برای محاسبه ویژگی های مکانیکی این منطقه، فاکتوری به نام فاکتور به هم ریختگی (Disturbance) را مطرح و در آخرین بروزرسانی می باشد (Hoek and Brown, 2002). با این وجود به کار گیری این ناحیه در تجزیه های مدل سازی، تاکنون دیده نشده است.

۱-۳. هدف از انجام تحقیق

به نظر می رسد نادیده گرفتن چنین ناحیه ای در ایجاد بخشی از اختلافات میان نتایج شبیه سازی ها و شرایط واقعی زمین مؤثر باشد. لذا منطقه تخریب یافته در تحقیق پیش رو به نام "هاله خردشده" نامگذاری و در تحلیل های سه بعدی تغییر شکل ها در نظر گرفته شد. از سویی مدل سازی سه بعدی در محدوده مطالعاتی، نیاز مدیران طرح را در پیش بینی وضعیت جبهه کار و برآورد تغییر شکل های ناشی از حفاری، برطرف می ساخت. تحقیق حاضر سعی دارد تا اثر هاله خرد شده در حفاری انفجاری را بر تحلیل عددی سه بعدی تغییر شکل های تونل گاوشن در کیلومتر ۱۰ و در گابرو های سری افولیتی زون ساختاری ستدج - سیرجان بررسی نماید.

۱-۴. سیستم کنترل نتایج

نحوه ابزاریندی طرح از موارد نادری است که اختلاف زمانی پیش روی سینه کار با نصب ابزار کم، فاصله ابزارها از یکدیگر کوتاه، نوع ابزار زیاد و شرایط نصب و نگهداری فی آن به طور علمی مورد توجه بوده است (کیانی، ۱۳۸۴). با وجود چنین شرایط مطلوب، سوابقی از تحلیل عددی محیط ناپیوسته در طرح تونل موجود نیست. از میان این ابزار، نتایج همگرایی سنج ها (Convergencemeters) و کشش سنج ها (Extensometers) پیش از دیگر ابزار مورد استفاده قرار گرفت. محدوده مورد نظر برای مدل سازی فاقد پوشش بوده است، بدین ترتیب که پوشش بتی در فاصله ۳۰ متری از سینه کار اجرا شده و ۳۰ متر پس از سینه کار نیز وضعیت مشابه داشته است. این امر به نزد یکی بیشتر داده های ابزار دقیق به رفتار طبیعی زمین منجر شده و شرایط کنترلی مناسبی را مهیا نموده است. نقاط کنترلی در سه محل روی صفحه کنترل (Control plate) عمود بر امتداد تونل، یکی در سقف و دو تا نقطه دیگر مقابل هم در دو دیواره چپ و راست در ارتفاع ۲/۵ متری از کف تونل قرار دارد. مراحل پیش روی (حفاری) مدل بر اساس فواصل ۵ متری (تقریباً معادل ۲ مرحله انفجار) تنظیم شد (شکل ۲).

۲- روش انجام تحقیق

به طور کلی برای مدل سازی تغییر شکل ها در محدوده کیلومتر ۱۰ تونل گاوشن، دو حالت در نظر گرفته شد. در حالت اول طبق روند امزوزی مدل سازی ها، ناحیه اطراف تونل به صورت تونه سنگی یکپارچه اما دارای درزه منظور شد و در حالت دوم، ناحیه ای به ستبرای ۱ متر به عنوان هاله خردشده حاصل از اثر آتشباری در اطراف تونل، مابین فضای حفاری شده و تونه سنگ یکپارچه درزه دار در نظر گرفته شد (شکل ۳).

۲-۱. انتخاب روش عددی و نرم افزار مورد استفاده در تحقیق

همان گونه که در مقدمه نیز اشاره شد، این بخش نخستین گام در مدل سازی اصولی است. روش های المان مجزا در بررسی مدلی شامل بخش های جدا از هم مانند بلوک های سنگی در تونه سنگ درزه دار نسبت به دیگر روش های عددی مناسب تر است. از سویی، گفته شد که بررسی کرنش های غیر صفحه ای در محیطی که سینه کار توسط عارضه هایی مانند درزه به بخش حفاری نشده مرتبط است ضروری است. جابه جایی نهایی در این حالت برآیند جابه جایی های عمودی، افقی و غیر صفحه ای خواهد بود (Eberhardt, 2001). بر این اساس روش عددی به کار رفته در تحلیل حاضر، روش المان مجزای سه بعدی می باشد.

سپس با استفاده از رابطه $K_c = 5$ (Hoek, 2000) تنشهای افقی (σ_c) نیز اعمال شد. کالیبراسیون مدل با سه هدف اساسی پیگیری شد. پیش از اعمال تغییرات پیشروی در هر مرحله، یا بد مدل به تعادل رسانده شود، پس از مشخص شدن ابعاد هندسی و مقدار نیروهای برجای حاکم بر مدل، این نیروها بدین منظور اعمال شد تا مدل به تعادلی برسد که زمین در طبیعت به آن رسیده است. مادامی که مدل در حال پاسخگویی به نیروها و رسیدن به تعادل است، از نیروهای حاکم بر مدل با عنوان نیروهای نامتعادل کننده (Unbalanced Forces) (جدول ۱) یاد می‌کنند. این نیروها کم کم با واکنش مدل به آنها تحلیل رفته و به صفر تزدیک شده اما هیچ گاه صفر نمی‌شوند. در این حالت می‌توان جایه‌جایی‌های باقیمانده را صفر نمود. پس از هر مرحله پیشروی دوباره این نیروها فعال می‌شوند که باید عمل تعادل ساختن و حذف جایه‌جایی‌های باقی‌مانده را یک‌بار دیگر انجام داد. این عمل در اجرای هر ۱۶ مرحله مدل‌های تحقیق (شکل ۵) و نیز در مدل‌های ساده آزمایشی تکرار شد.

هدف دیگر کالیبراسیون بررسی صحت عملکرد نرم افزار بوده است که در این راستا، مدل آزمایشی ساده‌ای توسط داده‌های حالت یک‌پارچه با مشبندی ۳ متری که در آن تنها یک دسته درزه تعیین شد (شکل ۶-الف) به تعادل رسید و تنش‌های برجا در آن محاسبه شد (شکل ۶-ب). سپس در یک مرحله، کل تونل خارجی و تأثیر تغییرات تنش استخراج گردید (شکل ۶-ج). با توجه به تغییرات فاحش در توزیع تنش و از سویی حالت نامتقارن این توزیع با وجود شکل متقارن تونل و محیط همگن (گابریو)، تأثیر تایپوستگی و صحت عملکرد نرم افزار مورد پذیرش قرار گرفت. تأثیر مذکور با مدل‌های پیش‌فرض موجود در مستندات نرم افزار نیز همخوان بود.

مدل ساده یاد شده، در هدف نهایی کالیبراسیون یعنی انتخاب مش بهینه نیز استفاده شد. هرچند با کاهش ابعاد مش دقت نتایج بیشتر خواهد شد اما با توجه به زمان برآشدن مدل با کوچک نمودن مش‌ها و از سویی کثافت خارجی، مش‌ها نمی‌باشد آنقدر کوچک باشد که زمان‌بندی مطالعات را دچار مشکل نماید. بدین منظور مش‌بندی در سه اندازه دیگر با ابعاد ۱/۰، ۰/۴ و ۰/۳ متری نیز انجام و نتایج باهم مقایسه شد. فاصله نتایج در مدل‌های با مش‌بندی ۳ متری نسبت به ۰/۵ متر به مرتب بیشتر از نتایج مش‌بندی ۱ متری به ۰/۵ متر می‌باشد. از سویی اختلاف نتایج مابین مش‌های ۰/۵ و ۰/۳ متری بقدری ناقص بود که می‌شد از آن صرف نظر نمود. لذا در نهایت مش‌های با اندازه ۰/۵ متر به عنوان انتخاب بهینه وارد مرحله اجرا شد. جدول ۲ میزان تنش در سقف با مش‌بندی مختلف را نشان می‌دهد.

۳-۵. اجرای مدل و روابط نتایج نهایی

پس از مش‌بندی و حذف نیروهای نامتعادل کننده، خارجی در هر دو حالت (یک‌پارچه و دارای هاله خردشده) و هر کدام در ۸ مرحله پیشروی ۵ متری (۲ مرحله پیش از رسیدن به سینه کار و ۶ مرحله پس از آن) انجام گرفت. در هر مرحله خروجی‌ها به شکل جایه‌جایی در جهات مختلف در نقاط هدف در مرز بازگشایی ثبت شد. در جدول ۴ میزان جایه‌جایی برآیند برای حالت یک‌پارچه و جدول ۵ با در نظر گرفتن هاله خرد شده ارائه شده است. داده‌های مدل‌سازی با نتایج ابزار دقیق (مهندسین مشاور مهاب قدس، ۱۳۸۴) مقایسه شد و بر این اساس نمودارهای شکل ۷ ارائه شده است.

۳-۶. بحث و نتیجه‌گیری

بر اساس نتایج حاصل از تحقیق بیشترین جایه‌جایی برآیند حاصل از پیشروی درون سیدان تنش لیتواستاتیک، در سقف (در حدود ۱۰ میلی‌متر) و پس از آن در دیوارهای

دارای سطح تماس، مناسب است. این مدل جایه‌جایی درزه را توسط از دست دادن مقاومت‌های برشی و چسبندگی، در شکستهای کششی یا برشی شیوه‌سازی می‌نماید. مدل "درزه به طور پیوسته تسلیم‌پذیر، مدل بسیار پیچیده‌ای است که وفتار سست شدگی پیوسته را به صورت تابعی از جایه‌جایی برشی پلاستیک شیوه‌سازی می‌نماید. طبیعت نواحی افیولیتی، درزه‌های پرشیب و گاه قائم را نشان می‌دهد (Alavi, 1994) و از لحاظ زمین‌ساختی بهم ریخته است. بدین ترتیب درزه نگاری سیستماتیک از محدوده طولانی به عمل آمد و سه دسته درزه عمدۀ حاصل شد (جدول ۱). ویژگی‌های مکانیکی دسته درزه‌ها برای مدل نیز از گزارشات طرح استخراج ارائه شده است.

3DEC ۳D توانایی اجرای ۴ نوع مدل رفتاری از سنگ را دار است که به ترتیب عبارتند از مدل الاستیک همسان (Elastic, Isotropic Model)، مدل الاستیک ناهمسان (Mohr-Coulomb Model)، مدل موهر-کولمب (Elastic, Anisotropic Model) و مدل پلاستیک دو خطی نرم شدگی / سخت شدگی / کرنش درزه همه جا حاضر (.Plastic Bilinear Strain Hardening/Softening Ubiquitous-Joint Model)

رفتار سنگ در دو دسته اول جای نمی‌گیرد و برای مدل‌سازی رفتار نوع چهارم نیز نرم افزار به بیش از ۳۵ نوع پارامتر نیاز دارد که با وجود شرایط آزمایش موجود امکان دستیابی به تمامی این پارامترها وجود نداشت. با این توصیف، همخوان ترین مدل رفتاری توده‌سنگ که پارامترهای حاصل از آزمایش‌ها و برداشت‌های میدانی حاضر را پوشش می‌داد، مدل موهر-کولمب می‌باشد که در تحقیق مورد استفاده قرار گرفت. بدین منظور پارامترهای سنگی موجود، در حد توان بازنگری شد.

همانگونه که در پیشینه مطالعات ذکر شد، در اطراف تونل که تحت انفجار خارجی پیشروی می‌کند، همواره ناحیه بهم ریخته‌ای با پارامترهای مقاومتی ضعیف‌تر از توده‌سنگ می‌باشد و وجود دارد. این تغیر کیفی در قالب تبدیل فاکتور D یا فاکتور بهم ریختگی توسط (Hoek(2002)، در آخرین بهروز رسانی معیار شکست خود (Hoek and Brown, 2002) از روایت این تبدیل، نیازهای مدل رفتاری در نرم افزار 3DEC با فراهم آورده. در جدول ۲ پارامترهای ژئومکانیکی سنگ گابریو و همچنین پارامترهای ژئومکانیکی هاله خردشده (C و G) که با استفاده از نرم افزار Roclab 1.0 تبدیل شد (Rocscience gr., 2002) و سایر پارامترهای مرتبط ارائه شده است، کف تونل در مقطع مورد بررسی از سطح آب زیرزمینی بالاتر می‌باشد در نتیجه مدل خشک در نظر گرفته شد.

۳-۶. شرایط هویزی و کالیبراسیون فرم افزار

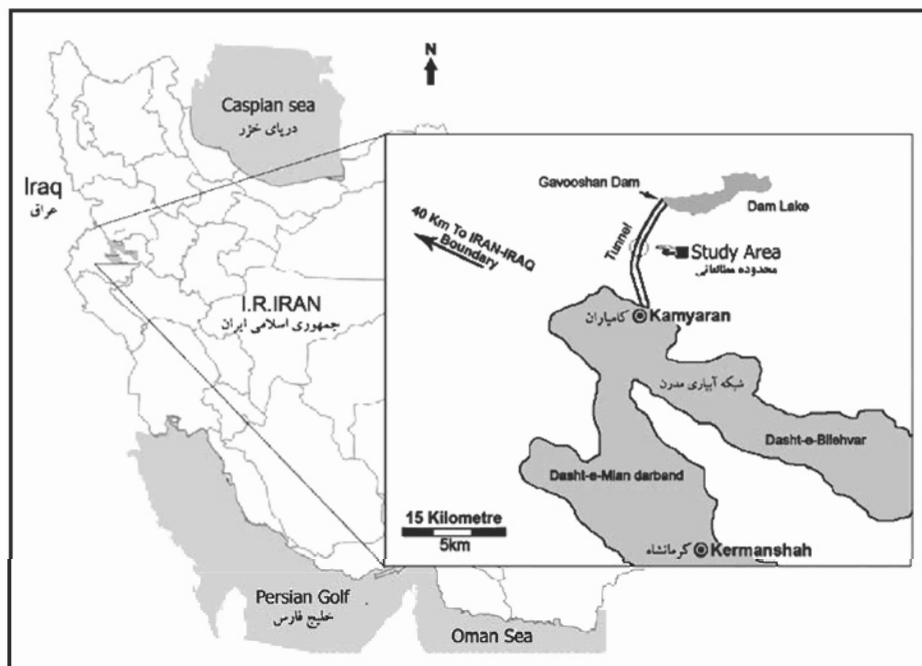
با توجه به هندسه مدل و به منظور همخوان سازی شرایط مدل با وضعیت طبیعی، مرزهای جانبی مدل در جهت عمود بر صفحات مرزی ثابت شد (مرز غلظتی). مرز پایین در تمام جهات ثابت و در مرز بالایی تنشی معادل تنش ثقلی رویاره اعمال شد. میزان تنش عمودی بر اساس ژرفای ۴۳۰ متر رویاره که به طور کامل از سنگ گابریو است، بر اساس رابطه $G = \frac{1}{2} E$ محاسبه شد. در این رابطه E تنش عمودی با گرانشی، G چگالی، E شتاب گرانش و ژرفای رویاره است (Hoek, 2000). بر این اساس در هر دو مدل به سبب تفاوت ناقص $E = 12/13$ (Mpa) معادل مگاپاسکال محاسبه و استفاده شد. تنش‌های افقی بر جا (σ_c) که بر اساس دستگاه مخصوص شکل ۲ در جهات X و Z عمل می‌نمایند بر اساس ضرب K (نسبت تنش) از میزان تنش عمودی حاصل می‌شوند. از رابطه $K = 0.25 + 7E$ (Sheory, 1994) $K = 0.001 + 1/Z$ می‌توان برای محاسبه ضرب K استفاده نمود. در این رابطه Z ژرفای رویاره، E مدول تغیر شکل پذیری میانگین لایه‌های بالایی است. مقدار K برابر $1/5$ محاسبه و

واضخ و آشکار است. لذا پیشنهاد می شود چنانچه حصول ویژگی های ژئومکانیکی هاله در مدل سازی های مشابه وجود دارد، این ناحیه به هم ریخته در مدل ها اعمال گردد و در صورت نبود داده ها، همواره اختلاف ناشی از در نظر نگرفتن آن در مدل با شرایط طبیعی مدنظر باشد. اگرچه نتایج مدل دارای هاله با شرایط واقعی اختلاف جزئی دارد اما همین میزان اختلاف را می توان از دو مورد اساسی تر متصور بود. مورد اول می تواند دقت آزمایش ها و خطای احتمالی پیش از ورود ویژگی های مواد و محیط، و مورد دوم که به نظر مؤثرتر می نماید حساسیت مدل به میزان ستبرای هاله باشد. چنانچه اطلاعات ورودی با تقریب بالایی دقیق باشد می توان در مطالعات مشابه گردد. بدین ترتیب پیش بینی می شود که هندسه هاله نیز قابل برآورد باشد.

۴- سپاسگزاری

مؤلفان بر خود وظیفه می دانند تا بدین وسیله کمال سپاس خود را از مجری طرح شرکت سهامی آب منطقه ای پاختر کشور و همچنین از شرکت مهندسین مشاور مهاب قدس، به خاطر مساعدت های بی دریافتان برای پیشبرد تحقیق بیان نمایند.

راست و چپ (به ترتیب دو حدود $3/5$ و 3 میلی متر) اتفاق افتاده است. جایه جایی نهایی پیشنه (سقف)، در هر دو مدل و نیز یافته های ایزولیندی در فاصله های معادل دو و نیم برابر قطر توپول (15 متر) پس از سینه کار تغیریاً نسبت ثابت پیدا می کند و به مقادیر نهایی خود می وسد. از سوی دیگر فاصله شروع تغییر شکل ها قبل از رسیدن به سینه کار در تمامی مدل ها تغیریاً معادل $1/5$ برابر قطر توپول یعنی ۹ متر می باشد. بر اساس میزان جایه جایی پیشنه، فاصله تیست آن نسبت به جبهه کار و نیز فاصله شروع تغییر شکل ها، توده سنگ مدل شده در دسته سنگ های الاستیک و مقاوم قرار می گیرد. نسبت جایه جایی در سقف در ابتدای پیش روی (زمانی که هنوز سینه کار به اندازه $1/5$ برابر قطر توپول با آن فاصله دارد) به جایه جایی نهایی آن (پیشنه جایه جایی)، بر اساس نتایج مدل یکپارچه 10% و حالتی که هاله خرد شده در نظر گرفته شد 18% باشد. در حالی که نسبت یاد شده در سنگ های ضعیف به لحاظ مقاومت به مراتب پیشتر است، چنین نسبتی مقاومت قابل قبولی را از توده سنگ مدل شده نشان می دهد. به طور کلی آنچه نمودارهای حاصل بیان می دارد انتباط بهتر داده های منتج از مدل سازی با اعمال هاله خرد شده با شرایط واقعی زمین (نتایج ایزولیندی) است. بدین ترتیب سؤال اصلی تحقیق با این پاسخ روپرورست که حساسیت مدل به چنین هاله ای



شکل ۱- موقعیت محدوده مطالعاتی

جدول ۱- ویژگی های هندسی و مکانیکی درزه های منطقه

\emptyset (درجه)	C چسبندگی (MPa)	مقاآت کششی (MPa)	سختی بر شی (MPa/mm)	سختی نرمال (MPa/mm)	جهت شیب نسبت به شمال	شیب ظاهری در مقایسه با امتداد توپول	دسته درزه
(حضری و همکاران، ۱۳۷۶)							
۳۲/۸	+۰/۹۰	+۰/۲۳	۴/۴۶۱	۱/۹۴۲	۲۲۶	۹۸/۴	۱
۱۸	+۰/۷۸	+۰/۱۵	۲/۸۶۱	۱/۱۰۲	۳۷۵	۷۵/۵۱	۲
۲۴	+۰/۸۶	+۰/۱۹	۴/۱۷۰	۱/۰۹۲	۱۴۲	۴۸/۳۲	۳

جدول ۴- پارامترهای زئومکانیکی سنگ گایپرو و حالت خردشده

ضریب پواسون	مدول الاستیستیه اشباع (GPa)	مقاومت فشاری نامحصور اشباع (MPa)	مدول تغییر شکل پذیری (GPa)	Ø اصطکاک داخلی (درجه)	C چسبندگی (Mpa)	گایپرو (خمره) و همکاران، (۱۳۷۶)	
۰/۲	۳۱/۸	۵۳/۹	۷	۳۲	۳/۱		
وزن مخصوص خشک gr/cm ^۳	زاویه اتساع (درجه)	K مدول بالگ	G مدول برشی (MPa)	۱۷/۶۶	۱۲/۲۵	۹/۵	حاله خردشده
۲/۸۲	۹	۱۷/۶۶	G مدول برشی (MPa)	۱۲/۲۵	۹/۵		
ضریب پواسون	مدول الاستیستیه اشباع (GPa)	مقاومت فشاری نامحصور اشباع (MPa)	مدول تغییر شکل پذیری (GPa)	Ø اصطکاک داخلی (درجه)	C چسبندگی (Mpa)		
۰/۲۸	۱۸	۲۰	۲/۱	۲۷	۰/۹۱		
وزن مخصوص خشک gr/cm ^۳	زاویه اتساع (درجه)	K مدول بالگ	G مدول برشی (MPa)	۱۳/۶	۷/۰۳	۲	
۲/۷۸	۲/۸۳	۱۳/۶	G مدول برشی (MPa)	۷/۰۳	۲		

جدول ۳- مقایسه نتایج تغییر در ابعاد مشین بندی مدل آزمایشی

میزان تنفس در سقف پس از حفاری (MPa)	۸/۰	۷/۸۵	۷/۸۴۹	۷/۸۴۹۱	۰/۴ مترا	۱ مترا	۳ مترا	۰/۵ مترا	۰/۴ مترا	ابعاد مشین در مدل آزمایشی

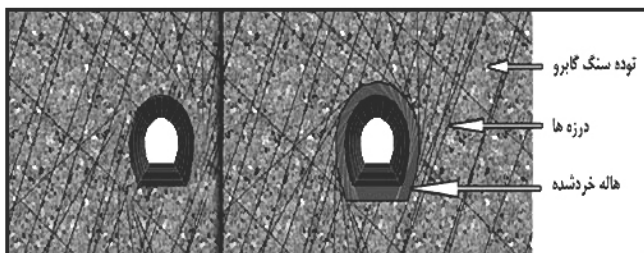
جدول ۴- مقادیر جابجایی در هر مرحله حفاری در مدل یکپارچه

مقطع حفاری شده	۵- متر	۱۰- متر	۱۵- متر	۲۰- متر	۲۵- متر	۳۰- متر	۲۵- متر بعد از نقطه هدف	۲۰- متر بعد از نقطه هدف	۱۵- متر بعد از نقطه هدف	۱۰- متر بعد از نقطه هدف	۵- متر بعد از نقطه هدف	نقطه هدف در مرز بازگشایی تا ۵ متر	نقطه هدف در مرز در موز بازگشایی	نتایج ابزار بندی در مرز بازگشایی	جابجایی برآیند
۱- مقادیر جابجایی سقف، نقطه هدف در موز بازگشایی (۰/۱۳۰ و ۰/۳۰)															
۹/۹۳۲	۹/۳۲۸	۹/۱۱۱	۸/۲۵۰	۵/۵۷۲	۴/۲۹۵	۱/۲۳۶	۰/۱۱۲۵								
۱۲/۰۹۲	۱۲/۰۹۰	۱۱/۸۸۸	۱۱/۱۸۴	۱۰/۳۸۲											
۲- مقادیر جابجایی دیواره راست، نقطه هدف در مرز بازگشایی (-۵ و -۰/۷۴ و -۰/۰۶)															
۲/۷۹۴	۲/۷۹۳	۲/۷۳۱	۲/۷۴۴	۱/۹۸۱	۱/۱۱۴	۰/۲۷۱	۰/۱۹۲								
۴/۱۹۱	۴/۱۸۹	۴/۰۹۲	۳/۸۹۰	۳/۶۲۵											
۳- مقادیر جابجایی دیواره چپ، نقطه هدف در مرز بازگشایی (-۵ و -۰/۷۴ و -۰/۰۶)															
۲/۳۳۵	۲/۳۳۵	۲/۳۲۵	۲/۰۳۱	۱/۹۵۶	۱/۲۴۸	۰/۶۸۸	۰/۱۱۰								
۵/۴۴۳	۵/۴۳۰	۵/۳۹۰	۵/۰۸۴	۴/۴۸۱											
* مقادیر به میلی متر است. چارچوب های خالی در نتایج ابزار بندی به سبب عدم نصب ابزار پیش از حفاری است.															

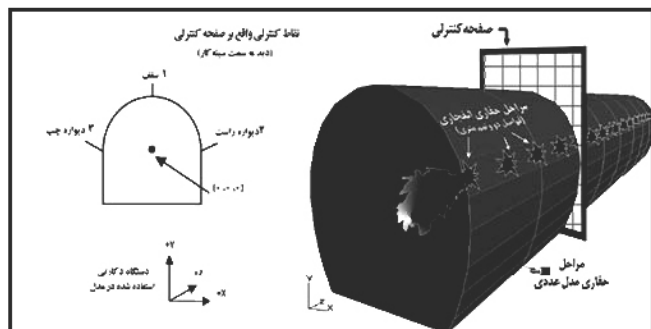
جدول ۵- مقادیر جابجایی در هر مرحله حفاری در مدل دارای هاله خرد شده

قطعه حفاری شده	۱۰-تا-۵- متر	در مرز بازگشایی	بازگشایی تا ۵ متر	نقاطه هدف در مرز	نقاطه هدف از نقطه هدف	۱۰-تا-۱۵- متر بعد	از نقطه هدف	۱۵-تا-۲۰- متر بعد	از نقطه هدف	۲۰-تا-۲۵- متر بعد	از نقطه هدف	۲۵-تا-۳۰- متر بعد	از نقطه هدف
۱- مقادیر جابجایی سقف، نقطه هدف در مرز بازگشایی (۰/۱ و ۰/۳ و ۰/۳)													
۱۰/۵۱۴	۱۰/۵۱۷	۱۰/۴۱۷	۹/۵۷۶	۹/۵۷۵	۵/۵۴۲	۲/۲۶۹	۰/۳۲۵	جابجایی برآیند					
۱۲/۰۹۲	۱۲/۰۹۰	۱۱/۸۸۸	۱۱/۱۸۴	۱۰/۳۸۲				نتایج ایزار بندی					
۲- مقادیر جابجایی دیواره راست، نقطه هدف در مرز بازگشایی (-۵ و -۰/۷۴ و -۰/۰۶)													
۲/۴۰۲	۲/۴۴۷	۲/۳۵۸	۲/۱۸۲	۲/۱۸۴	۱/۶۴۰	۰/۷۷	۰/۴۸۹	جابجایی برآیند					
۴/۱۹۱	۴/۱۸۹	۴/۰۹۲	۳/۸۹۰	۳/۹۲۵				نتایج ایزار بندی					
۳- مقادیر جابجایی دیواره چپ، نقطه هدف در مرز بازگشایی (-۵ و -۰/۰۶ و -۰/۷۴)													
۳/۰۸۳	۳/۰۸۱	۳/۰۴۸	۲/۸۷۴	۲/۷۷۴	۲/۰۲۶	۰/۸۱۰	۰/۲۴۷	جابجایی برآیند					
۵/۴۱۳	۵/۴۳۰	۵/۰۳۹۰	۵/۰۰۴	۴/۴۸۱				نتایج ایزار بندی					

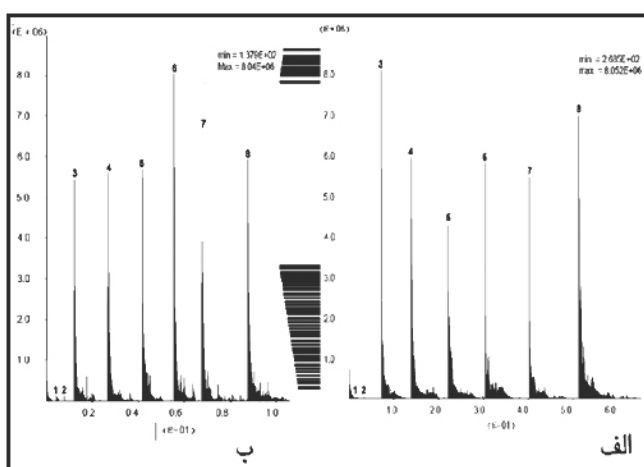
* مقادیر به میلیمتر است. چارچوبهای خالی در نتایج ایزار بندی به سبب عدم نصب ایزار پیش از حفاری است.



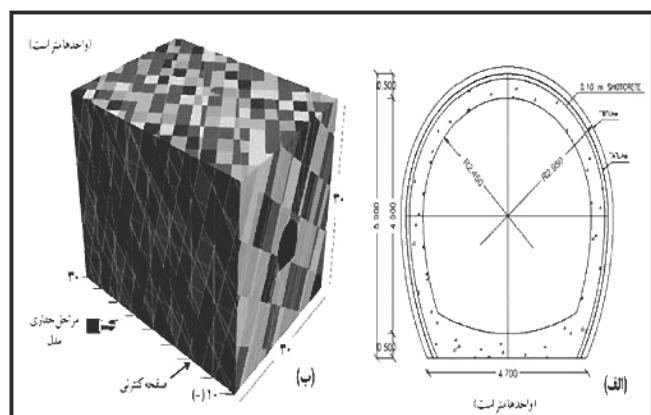
شکل ۳- مدل های دارای هاله خرد شده (راست) و یکپارچه (چپ) استفاده شده در تحقیق



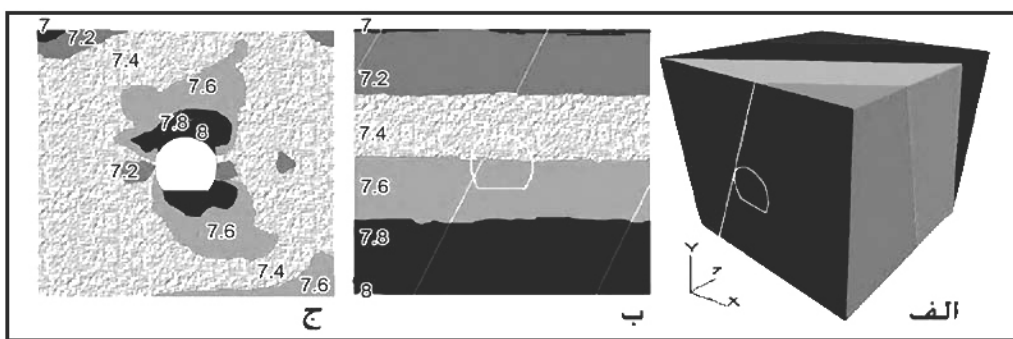
شکل ۴- موقعیت صفحه و نقاطه کنترلی، دستگاه مختصات و مقایسه مراحل حفر مدل با مراحل انفجار



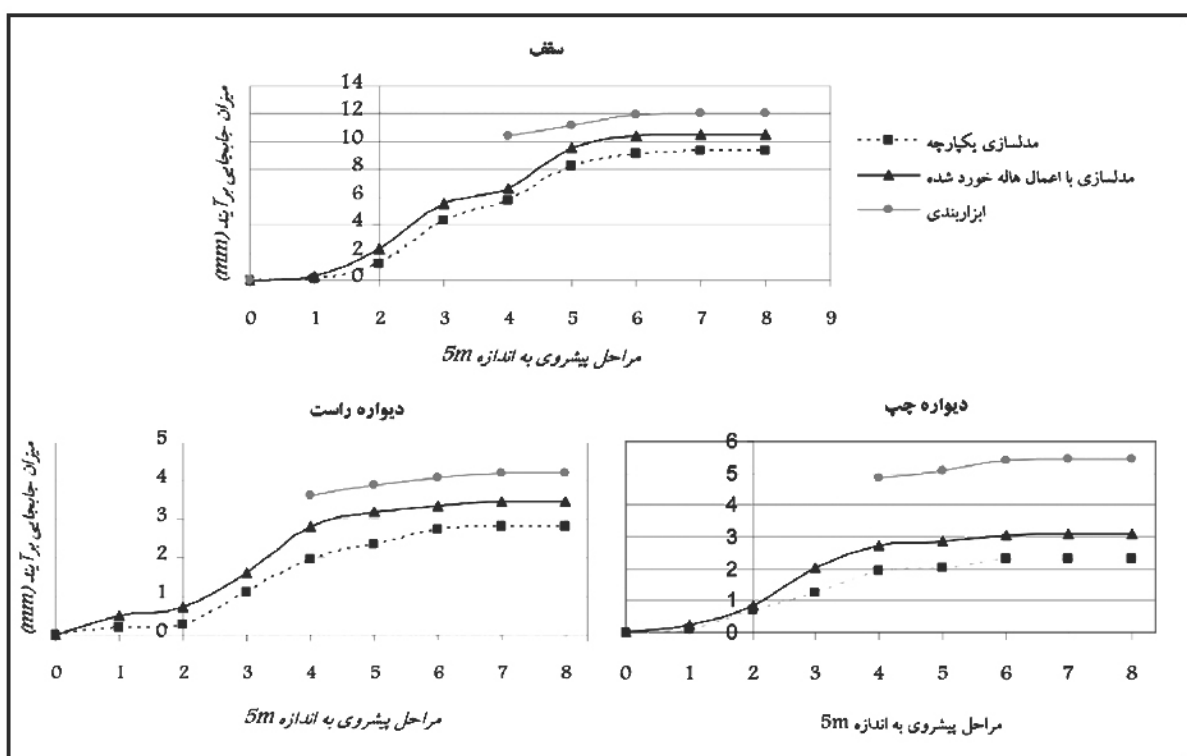
شکل ۵- (الف) وضعیت نیروهای نامتعادل کننده در هر مرحله از پیشروی در مدل یکپارچه ، (ب) دارای هاله خرد شده (متری). واحدها بر حسب نیوتون است و صفحه کنترلی در آغاز مرحله سوم قرار دارد



شکل ۶- (الف) ابعاد طراحی مقطع توول (ب) حدود، هندسه، مراحل حفاری و موقعیت صفحه کنترلی مدل.



شکل ۶- (الف) مدل با یک دسته دوزه برای برسی عملکرد نرم افزار، (ب) وضعیت تنش های بر جا پیش از حفاری (ج) پس از حفاری



شکل ۷- نمودارهای مقایسه ای تابعیت مدل سازی با ابرازیندی

کتابنگاری

خسروی، ح، شیری، ج. و تقاب شیرازی، ن، ۱۳۷۹- "گزارش زمین‌شناسی مهندسی و مکانیک سنگی طرح تونل انتقال آب سد گاوشن و تونل‌های دسترسی به آن". مطالعات مرحله دوم، مهندسی مشاور مهاب قدس.

کیانی، ر، ۱۳۸۴- "بررسی ابرازیندی در تونل گاوشن، با تأکید بر اینکه ویژه به رفتار ناحیه سپاهان است". مجموعه مقالات چهارمین کنفرانس زمین‌شناسی مهندسی و محیط زیست ایران، تهران، دانشگاه تربیت مدرس.

مهندسين مشاور مهاب قدس، نظارت مقیم کارگاه تونل گاوشن، ۱۳۸۴- "گزارش روزانه ابرازیندی تا تاریخ ۱۵/۱۱/۱۳۸۴".

References

- Alavi, M., 1994 - "Tectonic of Zagros orogenic belt of Iran: New data and interpretation". Journal of Tectonophysics, Vol. 229. PP 211-238.
- Barla, M., 2000 - "Stress paths around a circular tunnel". Rivista Italiana di Geotecnica, Italian geotechnical journal, Vol. 34, Part. 1, PP. 53-58.
- Bell, F.G., 1992 - "Engineering in rock masses". Butterworth-Heinemann Ltd. 580 p.
- Cheng, Y. and Liu, S., 1990 - "Power caverns of the Mingtan Pumped Storage Project, Taiwan". In Comprehensive Rock Engineering. (ed. J.A. Hudson), Oxford: Pergamon, 5, PP 111-132.
- Eberhardt, E., 2001 - "Numerical modeling of three-dimension stress rotation ahead of an advancing tunnel face". International J. Rock Mech. & Min. Sci. vol. 38. PP 499-518.
- Gercek, H. and Unlu, T., 2003 - "Effect of Poisson's ratio on the normalized radial displacements occurring around the face of a circular tunnel". Tunnelling and underground Space Technology, (18). PP 547-553.
- Hoek, E., 1990 - "Estimating Mohr-Coulomb friction and cohesion values from the Hoek-Brown failure criterion". Intnl. J. Rock Mech. & Mining Sci. & Geomechanics Abstracts. 12 (3), 227-229.
- Hoek, E., 2000 - "Rock Engineering (Course notes by Evert Hoek)". Evert Hoek Consulting Engineer Inc. 313 p.
- Hoek, E. and Brown, E.T., 2002 - "The Hoek-Brown failure criterion - a 2002 update". Roclab User's guide. Rocscience Inc. 27 p.
- Hoek, E., Kaiser, P.K. and Bawden, W.F., 1995 - "Support of underground excavation in hard rocks". Rotterdam: A.A. Balkema Pub. 369 p.
- Itasca Consulting Group, 2002 - "3DEC- 3Dimensional Distinct Element Code, Ver. 4.0, User's Manual". Minneapolis: Itasca Consulting Group Inc. 1028 p.
- Pande, G.N. and Williams, J.R., 1990 - "Numerical Methods in Rock Mechanics". John Wiley & Sons Ltd. 419 p.
- Rocscience group, 2002 - "Roclab: rock mass strength analysis using the Hoek-Brown failure criterion, User's guide". Rocscience Inc. 27 p.
- Sheory, P.R., 1994 - "A theory for in situ stresses in isotropic and transversely isotropic rock". Int. J. Rock Mech. Min. Sci. & Geomech. Abstr. 31(1), 23-34.
- Wittke, W., 1990 - "Rock mechanic- theory and applications with case histories". Springer Inc. 1074 p.
- Zienkiewicz, O.C. and Taylor, R.L., 1994 - "The finite element method". London: McGraw-Hill Ltd. 700 p.

surface in ore area. On this base, if the amount of sum of standard normalized data of supergen ore to hypogens ratio is larger than one, we can conclude that the main ore bodies exist in the depth and it conserved from erosion processes.

Key words: Geochemical Investigation, Porphyry Copper and Molybdenum deposit, Composite Haloes, Kahang

For Persian Version see pages 51 to 56

*Corresponding author: M. Farmahini Farahani; Email: fm_farahani@yahoo.Com

Effect of Crashed Areola during Blast Advancing on 3dimention Numerical Analysis of Tunnel's Displacements "With Respect to 10th km of Gavooshan Tunnel"

H. Bahrami^{1*}, A. Uromiah¹, M. Ahmadi² & S. Soleymani¹

¹Engineering Geology Department, Faculty of science, Tarbiat Modarres University, Tehran, Iran

²Rock Mechanic Department, Faculty of Engineering, Tarbiat Modarres University, Tehran, Iran

Received: 2006 July 30 Accepted: 2008 October 29

Abstract

In a perfect design of underground spaces, amount of total displacement from the point of stability analysis is fundamental. In empirical and numerical stability analysis periphery of excavated area is consider as a continued mass. When an underground space is excavated by blasting process, so periphery of tunnel is damaged by that process. As a result, those materials are not continued. In this research this area named "Crashed areola". 3 dimensional distinct element methods has more adapted with this area, while compared to other numerical methods. 3DEC 4.0 which is based on this method was chosen as a numerical codes. 10th kilometers of Gavooshan tunnel which is water conveyance tunnel is considered as a case study. The part of this tunnel which studied in this research is surrounded by ophiolitic gabbro rock mass. For modeling of this tunnel two conditions were considered, first with continue media of rock mass and second discontinue media so called crash areola. One of the advantages of this part of tunnel is installation of instrumentation with very scientific methods and absence of lining in the other hand. The outputs of numerical solution were shown that modeling by considering crash areola is near to data collection by instrumentations.

Keywords: Crashed areola, Blast advancing, Numerical modeling, 3DEC, Gavooshan tunnel.

For Persian Version see pages 57 to 64

*Corresponding author: H. Bahrami; E-mail: Bahrami22@yahoo.com.